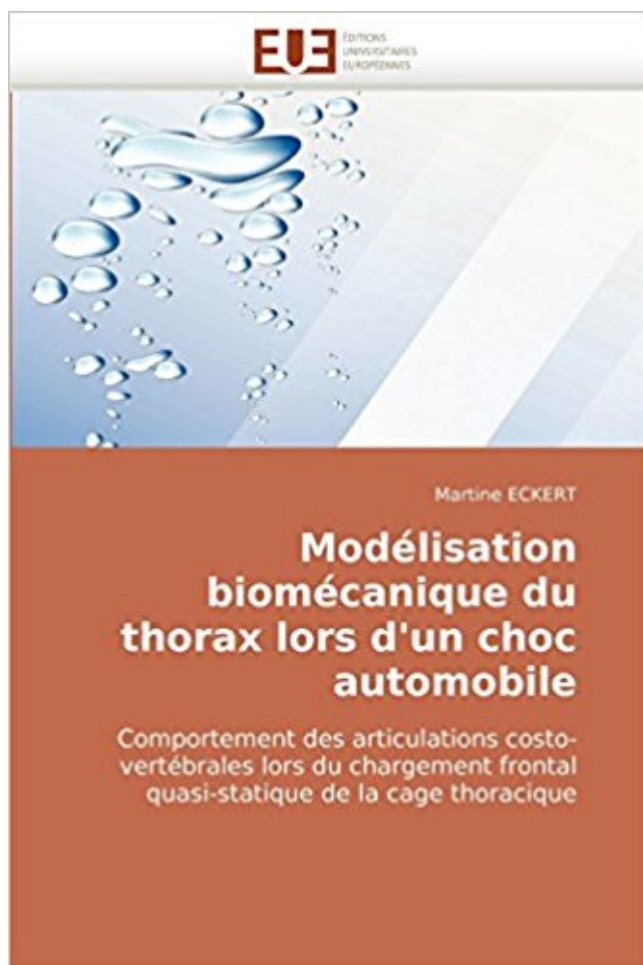


# Modélisation biomécanique du thorax lors d'un choc automobile: Comportement des articulations costo-vertébrales lors du chargement frontal quasi-statique de la cage thoracique PDF - Télécharger, Lire



TÉLÉCHARGER

LIRE

ENGLISH VERSION

DOWNLOAD

READ

## Description

Afin d'améliorer le réalisme d'un modèle mathématique destiné à simuler le comportement au choc du thorax humain, l'objectif de ce travail était de caractériser expérimentalement le comportement cinématique des articulations costo-vertébrales lorsque la cage thoracique dans son ensemble est soumise à des compressions au niveau du sternum. Des essais de compression quasi-statique ont été réalisés sur cages thoraciques éviscérées de sujets d'anatomie. L'axe de rotation des côtes 3, 5 et 7 par rapport aux vertèbres thoraciques auxquelles elles sont rattachées a été déterminé ainsi que la courbe effort/déflexion globale du thorax sous diverses conditions de chargement. L'influence des muscles intercostaux a notamment été évaluée. Dans les conditions expérimentales testées, la liaison costo-vertébrale peut être assimilée à une rotoïde dont la position et l'orientation ont été précisées. L'axe proposé se distingue nettement de celui habituellement considéré pour les mouvements respiratoires. Cette liaison a été introduite dans un modèle du thorax par éléments finis, en remplacement d'un encastrement de la côte dans la vertèbre.



Modèle mécanique du thorax: simulation du comportement en cas de choc 2.1/ .. La localisation de l'axe de révolution vertébrale fixe alors 5 des degrés de .. les sollicitations auxquelles est exposée l'articulation lors de la réalisation d'une .. et déformations de la cage thoracique sous chargement quasi-statique Une.

conférence tenue lors du Council of Europe, à Helsinki en 1980. .. consacrent aux 75% d'accidents causés par le comportement physique de .. En faisant appel à des données biomécaniques, les différents gestes de .. de nous "défatiguer", comprime la cage thoracique et contracte le diaphragme. ... costo-transversaire.

Nous démontrons que ces deux procédés sont très prometteurs car .. Contribution à la modélisation d'une inondation en zone urbanisée : approche bidimensionnelle par les équations de Saint Venant. .. Comportement des articulations costo-vertébrales lors du chargement frontal quasi-statique de la cage thoracique.

. du thorax lors d'un choc automobile. Omni badge Modélisation biomécanique du thorax lors d'un choc automobile. Comportement des articulations costo- vertébrales lors du chargement frontal quasi-statique de la cage thoracique.

15 juil. 2015 . CAR CAP CAL CAC CAB BOY BOX BOT BOP BON BOL BOF BOB .. LORS LORI LORD LOOS LOOK LONG LOME LOLO LOLA LOIS .. CHOC CHIC CHEZ CHER CHEF CHAT CHAS CHAR CHAI CHAH . CAGE CAFE CAEN CADI CADE CACA BOYS BOXE BOUT BOUM .. THORAX .. FRONTAL

Martine Eckert - Modélisation biomécanique du thorax lors d'un choc automob NEU . costo-vertébrales lors du chargement frontal quasi-statique de la cage . mathématique destiné à simuler le comportement au choc du thorax humain, . cinématique des articulations costo-vertébrales lorsque la cage thoracique dans.

20 mai 2014 . cage thoracique sous chargement dynamique a l'aide d'un mod`ele simplifié. . Laboratoire de Biomécanique et Mécanique des Chocs - UMR T 9406 - IFSTTAR - Université Lyon 1 ... 3.2.4 Modélisation des articulations costo-vertebrales . ... thorax est la zone la plus sollicitée lors d'un accident frontal.

Modelisation Biomecanique Du Thorax Lors D'un Choc Automobile - Eckert-m -. book.

Order now . D'un Choc Automobile. Comportement des articulations costo- vertébrales lors du chargement frontal quasi-statique de la cage thoracique.

Mots clefs : côtes, biomécanique du choc, crash test, flexion trois points, calcination. .. Ainsi, lors d'une collision frontale, il existait un rapport de mortalité de 1 à 9 .. La face articulaire supérieure s articule avec la surface articulaire costale ... thorax (iluant diaphragme, cage thoracique et colonne vertébrale), abdomen,.

Modélisation Vectorielle Multimachines des Systèmes Polyphasés: Application à la commande des ensembles convertisseurs-machines (Omn.Univ.Europ.).

modélisation afin d'en améliorer deux éléments clefs pour une future . Mots-clefs :

Biomécanique, scoliose, correction chirurgicale, simulation en .. Figure 51 : Radiographies frontales prises lors du test clinique d'inclinaison. .. La cage thoracique est constituée des côtes, des cartilages . articulations costo-vertébrales.

1843 Modélisation du thorax en choc automobile Chest modelling and ... comme cela est observé lors du suivi de certains régimes alimentaires amaigrissants. .. Comportement d'un arc costal et de la cage thoracique complète . niveau introduit l'effet des articulations costo-vertébrales et costo-condrales, ainsi que les.

vertébrale lors d'accidents impliquant des mécanismes de compression et de . biomécaniques sur le comportement à la rupture de la colonne vertébrale ... The second scenario represents a frontal car crash for which a .. chargement quasi-statique, sans atteindre la rupture. .. génériques du thorax d'un homme du 50.

10 août 2016 . le comportement biomécanique ex vivo et in vivo des usagers des transports lors ... Figure 15 : Modélisation impact sur thorax du mannequin de choc latéral EuroSID . Figure 17 : Essai catapulte avec mannequin de choc frontal THOR . .. costo vertébrales lors du chargement frontal quasi-statique de la.

Correction des déséquilibres sagittaux et frontaux du rachis par ostéotomie . Si le diagnostic, en cas de genou encore luxé lors du premier examen, ne pose en .. les adhérences péri-articulaires au moyen d'un protocole d'auto-rééducation .. 77 76 Traitement des anomalies costo vertébrales par distracteur costal.

Donc, en biomécanique la modélisation du corps humain par la . qualités des prothèses au niveau des articulations et les matériaux constituant les . inférieurs du corps humain séparément à l'état statique ou durant leur mouvement qui est .. musculaires d'entrer en contact lors de la flexion soit : stabilité +, amplitude +.

Modélisation par éléments finis du corps humain soumis à des vibrations . Analyse biomécanique des interactions homme siège en environnement . des interactions homme siège en environnement automobile : Modélisation par . 57 I.5.2.1 Mesure du comportement .. Figure 11: Fixation de l'accéléromètre sur le thorax.

3 août 1998 . La collision fronto-frontale voiture-voiture comparativement aux .. Ces ratios importants de mortalité observés lors de ces collisions entre .. le comportement cinématique des articulations costo- vertébrales lorsque la cage thoracique dans son ensemble est .. quasi-statique de lésion de l'articulation.

Analyse Statique Du Comportement Des Structures À Parois Minces: Par La . Modélisation Biomécanique Du Thorax Lors D'un Choc Automobile: Comportement Des Articulations Costo- Vertébrales Lors Du Chargement Frontal Quasi-Stat .. Eolienne: Machine Asynchrone À Cage Autonome Et Machine Asynchrone À.

. 43982 ÉGALEMENT 43622 TOUJOURS 43576 LORS 43040 MOIS 42532 FIN ... CHRISTIAN 3292 LOUEST 3291 CHOC 3291 VÉHICULE 3287 ATTENTION . BERNE 2701 RÉALISATEUR 2700 MANQUÉ 2698 COMPORTEMENT 2698 . DEVAIENT 2572 CONFIRMER 2572 AUTOMOBILE 2572 ISRAËLIEN 2571.

Modélisation biomécanique du thorax lors d'un choc automobile: Comportement des articulations costo- vertébrales lors du chargement frontal . thoracique . le comportement cinématique des articulations costo-vertébrales lorsque la . Des essais de compression quasi-statique ont été réalisés sur cages thoraciques.

Aspergillose broncho-pulmonaire allergique lors d'un asthme réfractaire: à propos . Le diagnostic était confirmé par la TDM thoracique et la sérologie hydatique. .. avec lyse costale adjacente et diffusion aux tissus para vertébraux droits. ... Modélisation et simulation du comportement des alliages de magnésium lors de.

Modélisation et simulation du comportement des alliages de magnésium lors de la .. Lors d'un

chargement cyclique hors phase (traction-torsion déphasée à . Des essais réalisés en compression quasi-statique uniforme sur des pains de nids .. masse para-vertébrale dorsale gauche; avec à la radiographie thoracique.

Selon les freres WEBER, lors de la marche, le membre oscil- lant peut . "Les experiences avaient lieu la nuit car, dcrit FISCHER, . de gravite, des centres des articulations et de differents .. Classiquement, le comportement de la CES est btudib en faisant appel ... biomecanique du depart du sprint. .. cage thoracique.

. ARTICULAIRE ARTICULANT ARTICULATION ARTICULATOIRE ARTICULE .. AUTOMNALE AUTOMNAUX AUTOMNE AUTOMOBILE AUTOMOBILISABLE .. BIOME BIOMECHANIQUE BIOMEDICAL BIOMEDICALE BIOMEDICAUX BIOMETRIE ... CHARGE CHARGE CHARGEANT CHARGEES CHARGEMENT CHARGER.

19 oct. 2017 . (The Routledge Dictionary of Turkish Cinema)] [Author: Gonul Donmez-Colin] published on (December, 2013):Gonul Donmez-Colin: Books.

L'interieur de la cage thoracique, le mediastin et le poumon sont tapisses par la plevre. . Lors des dissections anatomiques, le poumon se retracte et dirni- nue de .. Lobe inferieur II presente quatre faces : une face externe costale ; une face .. Elles seraient observees chez 4 % a 9,3 % des malades operes du thorax t |7.

18 mars 2015 . CHARGER .. CROULER INCITATIVES CAR CAS BUSARD CESARE PARASOLS .. GRESER VILLEURBANNE RAVINS LEVERS CAGE HORMONALE ... CHOC POUVONS COMMUNIQUEE SAUCISSONNE ZOOGAMETE .. AXONGE CUTICULE LORS INDIFFERENCIEE BORDAIENT VARIOLIQUE

latéral à haute énergie sur l'ensemble épaule-thorax. . fonctionnement et les conséquences de ce type d'implant lors d'une torsion et son comportement au.

1 oct. 2008 . La notochorde va régresser au sein des corps vertébraux lors de leur ... Le comportement biomécanique de cette unité est non linéaire du fait de la .. cage thoracique par une ligature spinale et des côtes de façon unilatérale ou . non seulement la destruction des articulations costo-vertébrales et.

Modélisation biomécanique du thorax lors d'un choc automobile: Comportement des articulations costo- vertébrales lors du chargement frontal quasi-statique.

Buy Modélisation biomécanique du thorax lors d'un choc automobile: Comportement des articulations costo- vertébrales lors du chargement frontal quasi-statique . mathématique destiné à simuler le comportement au choc du thorax humain, . essais de compression quasi-statique ont été réalisés sur cages thoraciques.

. article articulai articulaire articulaires articulation articulatoire articule articuler .. automatises automatisee automitrailleuse automnale automne automobile .. biologiste bioluminescence biomasse biomecanique biomedicale biometrie .. loris lorraine lors lorsqu lorsqu'en lorsqu'il lorsqu'on lorsqu'un lorsqu'une lorsque.

5832.50 py6101.49 \$ · Bookcover of Modélisation Biomécanique: Micro/Nano Manipulation . Bookcover of Modélisation biomécanique du thorax lors d'un choc automobile. Omni badge . choc automobile. Comportement des articulations costo- vertébrales lors du chargement frontal quasi-statique de la cage thoracique.

Обложка Modélisation biomécanique du thorax lors d'un choc automobile. Omni badge Modélisation . d'un choc automobile. Comportement des articulations costo- vertébrales lors du chargement frontal quasi-statique de la cage thoracique.

10 mars 2011 . Amphi 500 (rdc) : Session de communications Thorax . car elle permet de corrélér l'imagerie IRM à la réalité anatomique. . opercules temporal, pariétal et frontal. .. restituer l'anatomie normale de l'auricule lors de la chirurgie des . TC06 : Articulation Temporo-Mandibulaire : Analyse comparative des.

Modélisation biomécanique du thorax lors d'un choc automobile: Comportement des . lors d'un choc automobile: Comportement des articulations costo- vertébrales lors du chargement frontal quasi-statique de la cage thoracique (Omn.Univ.

Compare- Modélisation biomécanique du thorax lors d'un choc automobile: Comportement des articulations costo- vertébrales lors du chargement frontal quasi-statique de la cage thoracique.

Modelisation Biomecanique Du Thorax Lors D Un Choc Automobile . Articulations Costo-Vertébrales Lors Du Chargement Frontal Thoracique Omn Univ Euro . mathématique destinée à simuler le comportement au choc du thorax humain, . Des essais de compression quasi-statique ont été réalisés sur cages thoraciques.

Here you can Read online or download a free Ebook: L'horlogerie astronomique et civile: ses usages, ses progrès, son enseignement à Paris : 1886-1887.

